

4. И. А. Карпухин, В. К. Боболев, В. А. Теселкин. ФГВ, 1971, 7, 2, 261.
5. И. А. Карпухин, В. К. Боболев, Ю. М. Балинец и др. ФГВ, 1979, 15, 2, 140.
6. Г. Т. Афанасьев, В. К. Боболев. ФГВ, 1975, 11, 3, 467.
7. Р. И. Гарбер, И. А. Гиндин. УФН, 1960, 70, 1, 57.
8. Л. Н. Акимова, Л. Н. Стесик, А. Я. Апин. ФГВ, 1967, 3, 12, 386.
9. Л. Н. Акимова, Л. Н. Стесик. ФГВ, 1976, 12, 2, 247.
10. Л. Н. Акимова. ФГВ, 1980, 16, 2, 143.

УДК 662.215.1

О ВЛИЯНИИ ДОБАВОК НА КРИТИЧЕСКИЙ ДИАМЕТР ДЕТОНАЦИИ НИТРОЭФИРОВ

Г. Д. Козак, В. В. Кондратьев, Б. Н. Кондриков
(Москва)

Критический диаметр детонации (d_{kp}) растворов на основе жидким нитроэфирами, в основном нитрогликоля, впервые обстоятельно измерялся в [1]. Впоследствии тщательные измерения проведены для растворов метилнитрата (МН) [2]. Показано, что при введении инертных невзрывчатых разбавителей d_{kp} монотонно растет. Однако в [3] обнаружено, что некоторые невзрывчатые органические вещества в малых количествах существенно снижают d_{kp} нитроэфиров. В связи с этим представлялось полезным вернуться к вопросу о влиянии инертных разбавителей на d_{kp} нитроэфиров и рассмотреть его более детально.

Опыты проводили с полными азотно-кислыми эфирами гликоля (НГЛ), глицерина (НГЦ), метанола (МН), пропанола (ПН), диэтиленгликоля (ДГДН), аллилового спирта (АН). При $d_{kp} \geq 2$ мм измерения проводили по методу «да — нет» в стеклянных цилиндрических трубках [1]. При $d_{kp} < 2$ мм использовались тонкостенные ($\delta_{ct} \approx 0,2$ мм) стеклянные капилляры, вытягивающиеся из трубок диаметром 12—14 мм, оставшаяся часть трубки образовывала конусообразное расширение для помещения шапки промежуточного детонатора (флегматизированный гексоген, $m = 2$ г, $d = 11$ мм, $\rho = 1,67$ г/см³).

Нижняя рабочая часть капилляра имеет вид усеченного конуса — отношение разности диаметров к высоте (конусность — K) в пределах 0,005—0,015 (угол при вершине полного конуса около 2°). За величину d_{kp} в этих опытах принимали диаметр, при котором детонация затухала (свидетель — алюминиевая пластина). Полноценными считались опыты, в которых детонация прошла по рабочей части (определенной конусности) не менее 100 мм ($> 50 d_{kp}$).

Критический диаметр НГЛ, НГЦ и МН при $K = 0$, определялся ранее в работах [1—4], в данной работе уточнен экстраполяцией кривых

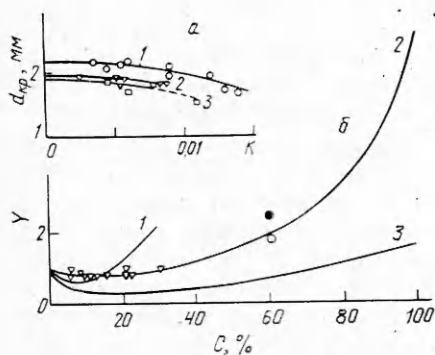


Рис. 1. Влияние конусности на d_{kp} нитроэфиров (а) и добавок на величину Y (б).

а) 1 — НГЛ, 2 — НГЦ, 3 — МН; б) 1 — ПН, 2 — ДГДН; 3 — в капиллярах, 4 — в цилиндрических трубках (детонация и отказ), 3 — аллилнитрат (без точек).

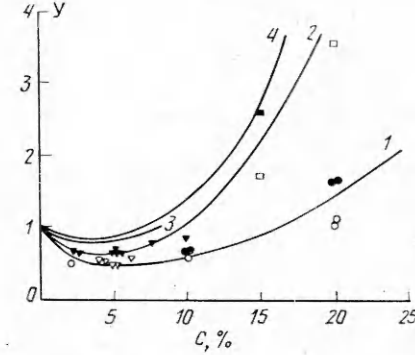


Рис. 2. Влияние добавок на величину Y .
1 — аллиловый спирт: кривая — расчет по формуле (1), ●, ○ — опыты в цилиндрических зарядах (детонация и отказ), ▽ — опыты в конических капиллярах; 2 — ацетон: ▼ — опыты в капиллярах, ■, □ — опыты [1] в цилиндрических трубках (детонация и отказ); 3 — метанол; 4 — диэтиловый эфир.

$d_{kp}(K)$ на $K = 0$. Значение $d_{kp}^0(0)$, соответственно, 2,1; 1,9; 1,85. Кривые $d_{kp}(K)$ на рис. 1 использовались и для учета эффекта «прогона» детонации, обнаруженного в работе [5]. Значения d_{kp} для растворов на основе НГЛ относили к d_{kp} для чистого НГЛ при том же значении K . Полученная величина $d_{kp}/d_{kp}^0 = Y$ приведена на рис. 1 и 2. Хорошо видно, что «инертные» добавки — невзрывчатые органические соединения без кратных связей с большой по модулю отрицательной энталпийей образования (ацетон, метанол, диэтиловый эфир) — совсем не инертны: при добавлении к нитрогликолю в количестве до $\sim 5\%$ они заметно снижают d_{kp} . Наиболее сильным действием из этих трех веществ (см. рис. 2) обладает ацетон: при добавлении 3% ацетона d_{kp} уменьшается в $\sim 1,5$ раза ($Y_{min} = 0,6$). Несколько слабее действует метанол ($Y_{min} = 0,75$). Еще слабее (в соответствии с результатом, полученным ранее при больших содержаниях этого разбавителя [3]) влияет на НГЛ диэтиловый эфир ($Y_{min} = 0,85$).

Соединения химически более активные — глицидол ($\text{CH}_2\text{OCHCH}_2\text{OH}$), аллиловый спирт ($\text{CH}_2 = \text{CH} - \text{CH}_2\text{OH}$) — реагируют в детонационной волне более энергично — снижают d_{kp} сильнее, чем ацетон, а заметное торможение реакции (рост d_{kp}) требует большей концентрации добавки. После прохождения минимума кривой $d_{kp}(C_{\text{доб}})$ для достижения $d_{kp} = d_{kp}^0$ требуется 18% глицидола и более 16% аллилового спирта (см. рис. 2).

Следует заметить, что рассматриваемые соединения, очевидно, не катализаторы, а реагенты: минимум достигается при значительном (до 5%) содержании добавки (C_{min}) и оно тем больше, чем меньше Y_{min} .

Эффективными добавками к нитрогликолю являются и нитроэфиры, кислородный баланс которых меньше, чем НГЛ (см. рис. 1). При добавлении к НГЛ небольшого количества пропилнитрата d_{kp} снижается так же, как при введении ацетона (см. рис. 1): $Y_{min} = 0,6$, $C_{min} = 3\%$. При дальнейшем увеличении содержания ПН d_{kp} растет, хотя, естественно, более медленно, чем при разбавлении ацетоном, достигая значения, равного d_{kp}^0 лишь при введении 20% ПН. Дальнейший рост d_{kp} идет прогрессивно: критический диаметр детонации самого ПН, вероятно, не менее 50–100 мм. ДГДН в малых количествах (см. рис. 2) снижает d_{kp} НГЛ слабее, чем ПН. При увеличении содержания ДГДН d_{kp} однако растет медленнее — кривые пересекаются: чистый ДГДН имеет $d_{kp} = 16$ мм [4]. Опять наиболее эффективной добавкой оказывается нитроэфир с двойной связью — аллилнитрат ($\text{CH}_2 = \text{CH} - \text{CH}_2\text{ONO}_2$) ($Y_{min} = 0,4$). Отметим, что на участке падения d_{kp} совпадают друг с другом; с одной стороны, кривые для ацетона и пропилнитрата, а с другой, для аллилового спирта и аллилнитрата. Снижается d_{kp} нитрогликоля и при добавлении тротила (3–5%).

Хлороформ и бромоформ также дают с НГЛ кривые с минимумом, но (в отличие от ацетона или пропилнитрата) минимум этот плоский ($C_{min} \approx 10–40\%$; $Y_{min} = 0,7$). При увеличении содержания добавки и $Y > 1$ зависимость $d_{kp}(C)$, полученная в данной работе, сливается с полученной ранее [1].

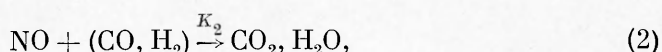
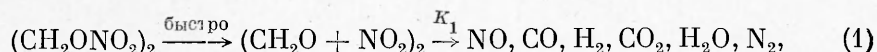
НГЦ с ацетоном дает почти такую же зависимость $d_{kp}(C)$, как и нитрогликоль (с учетом того, что d_{kp} НГЦ (см. рис. 2) немного ниже, чем d_{kp} НГЛ). Напротив, d_{kp} метилнитрата при добавлении хлороформа и бромоформа никакого уменьшения не претерпевает. Для этого вещества значения Y в тонкостенных конических капиллярах совпадают с полученными ранее [2] в цилиндрических стеклянных трубках. Результаты опытов с добавлением к МН ацетона менее определены: если снижение d_{kp} и имеется, оно гораздо меньше, чем при добавлении ацетона к НГЛ. Аллиловый спирт и аллилнитрат снижают d_{kp} метилнитрата на минимуме в 1,5 раза.

Переходя к обсуждению результатов, следует сразу же заметить, что применение метода тонкостенных конических капилляров делает результаты опытов по влиянию добавок на d_{kp} нитроэфиров в количественном

отношении не вполне определенными. Известно, что в цилиндрических трубках «прогон» детонации перед затуханием для разных соединений и смесей различен. Очевидно, добавки по-разному влияют на возможность и устойчивость распространения детонации. Можно полагать, что сравнение критических диаметров в конических и цилиндрических зарядах позволит оценить соотношение между устойчивостью и возможностью распространения детонации.

Однако, наличие минимума на кривых $Y(C)$ несомненно, и объяснение его состоит в следующем. Нитроэфиры с кислородным балансом, равным нулю или близким к нему (НГЛ, НГЦ), в детонационной волне разлагаются вначале с образованием окислов азота и органических веществ, в основном, видимо, формальдегида. Затем идут реакции с окислами азота органических веществ, а затем водорода и окиси углерода, образовавшихся на первых стадиях окисления. Скорости окисления CO и H_2 малы, и при добавлении легкоокисляющихся органических веществ общая скорость тепловыделения может возрастать, несмотря на снижение за счет разбавления адиабатической теплоты взрыва. Разумеется, при значительном разбавлении падение теплоты взрыва приводит в конечном итоге к прогрессивному росту d_{kp} .

Кинетическая схема на примере НГЛ в общих чертах состоит в следующем:



Выражая скорость реакции через концентрации исходных веществ, получим

$$\begin{aligned} W &= K_1[CH_2O][NO_2] + K_2[CO][NO] + K_3[C_{\text{доб}}][NO] = \\ &= 4K_1[\text{НГЛ}]^2 + K_2[\text{НГЛ}]^2 + K_3[C_{\text{доб}}][\text{НГЛ}] = \\ &= 4K_1[\text{НГЛ}]^2 \{1 + K_2/4K_1 + K_3[C_{\text{доб}}]/4K_1[\text{НГЛ}]\}. \end{aligned}$$

Скорость реакции в отсутствие добавки

$$W_0 = 4K_1^0[\text{НГЛ}_0]^2(1 + K_2^0/4K_1^0).$$

На пределе распространения детонации выполняется соотношение

$$Y = d_{kp}/d_{kp}^0 = W_0/W_{kp}.$$

Обозначим

$$x = [\text{доб}]/[\text{НГЛ}], A = [\text{НГЛ}]/[\text{НГЛ}_0].$$

После преобразований получим

$$Y^{-1} = e^{-a\Delta T} A^2 (1 + bxe^{a_1\Delta T}). \quad (I)$$

Здесь

$$a = \frac{E_i}{RT_*^2}; \quad a_1 = \frac{E_2 - E_3}{RT_*^2}; \quad b = \frac{Z_3}{4Z_1(1 + K_2^0/4K_1^0)};$$

E_i , Z_i — энергии активации и предэкспоненты реакций (1) — (3); K_1^0 и K_2^0 — константы скорости реакции (1) и (2) при детонации НГЛ без добавок; T_* — температура, определяющая скорость реакции при детонации НГЛ без добавок, $T = T_* - \Delta T$ — температура реакции при детонации раствора.

В данной работе температура в зоне реакции рассчитывалась аналогично работе [2]. При этом $\Delta T \sim C_{\text{доб}}$, коэффициент пропорциональности зависит от теплоемкости продуктов.

Кривая I на рис. 1, a для смеси НГЛ с аллиловым спиртом проведена по формуле (I) при $a = 2 \cdot 10^{-3} K^{-1}$; $a_1 = 0,4 \cdot 10^{-3} K^{-1}$; $b = 29$.

ЛИТЕРАТУРА

1. А. Я. Апин, Н. Ф. Велина.— В кн.: Взрывное дело, № 63/20. М.: Недра, 1967.
2. Б. Н. Кондриков, В. М. Райкова. ФГВ, 1977, 13, 1, 55.
3. Г. Д. Козак, Б. Н. Кондриков, А. В. Старшинов и др.— В кн.: Детонация. Черноголовка: ОИХФ АН СССР, 1980.
4. Г. Д. Козак, Б. Н. Кондриков, А. В. Старшинов.— В кн.: Химическая физика конденсированных систем. Вып. 104. М.: изд. МХТИ, 1979.
5. Л. Н. Азбукина, А. Ф. Беляев.— В кн.: Физика взрыва/Под ред. М. А. Садовского, А. Ф. Беляева. № 3. М.: Изд-во АН СССР, 1955.

УДК 662.215.4

ЗАЖИГАНИЕ КРИСТАЛЛИЧЕСКОГО ГЕКСОГЕНА ПРИ АДИАБАТИЧЕСКОМ СЖАТИИ ПРИЛЕГАЮЩЕЙ ГАЗОВОЙ ПОЛОСТИ

*В. С. Соловьев, В. В. Лазарев, С. Г. Андреев
(Москва)*

Закономерности зажигания зарядов ВВ за счет теплопередачи от разогретого при достаточно быстром сжатии газа изучены в основном при реализации компрессионного сжатия газа, в атмосферу которого помещен исследуемый образец, или при ударно-волновом воздействии на заряд, содержащий газ в межкристаллических порах. В промежуточном диапазоне нагрузок, характеризуемом амплитудой $0,2 \div 0,8$ ГПа и временем действия $50 \div 100$ мкс, работы до последнего времени практически не велись, что связано с трудностью получения длительного контролируемого профиля давления. Имеющиеся экспериментальные данные [1], относящиеся к указанному диапазону, получены с помощью модернизированных копровых методик, в которых время сжатия сформированной в заряде газовой полости превышает время ее тепловой релаксации, в результате чего дополнительным определяющим фактором является теплопередача от разогретого газа к ВВ в процессе сжатия газовой полости.

В настоящей работе сообщаются результаты, полученные с помощью взрывного нагружения сжимаемой газовой полости, прилегающей к поверхности исследуемого заряда ВВ. Нагружающий импульс создавался при инициировании «уходящей» детонационной волны в низкоплотном заряде смеси гексогена с минорой (рис. 1). При этом на сжимаемую среду, расположенную под нагружающим зарядом, действует ударно-волновой импульс, близкий к прямоугольному, характеристики которого (давление нагружения p и время действия давления) задаются плотностью нагружающего заряда и его высотой [2].

В качестве модельного вещества использовался кристаллический гексоген, поведение которого по типу порогового датчика зажигания (реакция в образце не возникает либо образец полностью сгорает) позволяет однозначно определять копечный исход нагружения. Кристаллы гексогена шлифовали до получения плоской грани с длиной ребра не менее 6 мм, помещали в алюминиевое кольцо и заливали эпоксидным компаундом. Для формирования сжимаемой полости заданных размеров к поверхности кристалла герметично крепили фторопластовую кольцевую шайбу толщиной h . Сжатие газа производилось за счет вдавливания в полость под действием давления нагружения прокладки, отпрессованной из смеси поваренной соли с парафином. Толщина прокладки, равная 20 мм, обеспечивала затухание ударной волны, возникающей при детонации инициатора нагружающего заряда, до параметров нагружения от основного заряда и исключала тепловое воздействие продуктов детонации на исследуемый образец. Высоту столба балласта, изготовленного из того же материала, что и прокладка, выбирали из условия прихода волны разгрузки с тыльной стороны образца не раньше времени окончания действия давления.

Для расширения диапазона температуры, реализуемой при сжатии газа, были выбраны аргон и пропан, обладающие отличными от воздуха